

# MEFPY

1 de junho de 2020

## Sumário

<b>1</b>	<b>Método dos Elementos Finitos com Python</b>	<b>2</b>
<b>2</b>	<b>Introdução</b>	<b>2</b>
2.1	Histórico . . . . .	2
<b>3</b>	<b>Método Numéricos</b>	<b>2</b>
3.1	Exemplo . . . . .	3
3.1.1	Vetor $x$ (Definição do Domínio) . . . . .	3
3.1.2	Definição da Solução Exata . . . . .	3
3.2	MRP - Método dos Resíduos Ponderados . . . . .	4
3.2.1	Analogia . . . . .	4
3.3	Subdomínio (MVF - Método dos Volumes Finitos) . . . . .	4
3.3.1	Função de Ponderação . . . . .	4
3.3.2	Exemplo . . . . .	5
3.3.3	Implementação do Subdomínio . . . . .	6
3.4	Galerkin . . . . .	7
3.4.1	Implementação do Método de Galerkin . . . . .	8
3.5	Rayleigh-Ritz . . . . .	8
3.5.1	Implementação do Método de Rayleigh-Ritz . . . . .	9
<b>4</b>	<b>MEF - Método dos Elementos Finitos</b>	<b>10</b>
4.0.1	Matriz de Rigidez e Matriz de Força (ou Carregamento) Nodal . . . . .	11
4.1	MEF com 1 Elemento . . . . .	11
4.2	MEF com 3 Elementos . . . . .	14
<b>5</b>	<b>Comparação das Soluções</b>	<b>15</b>
<b>6</b>	<b>PTV - Princípio dos Trabalhos Virtuais</b>	<b>16</b>
6.1	Incremento do Trabalho Interno (Energia de Deformação) . . . . .	16
6.2	Incremento do Trabalho Externo . . . . .	17
<b>7</b>	<b>PDV - Princípio dos Deslocamentos Virtuais</b>	<b>18</b>
<b>8</b>	<b>Energia Potencial Total do Sistema</b>	<b>18</b>

<b>9</b>	<b>Princípio da Energia Potencial Total Mínima</b>	<b>18</b>
9.1	Exemplo . . . . .	18
9.1.1	Solução . . . . .	19
<b>10</b>	<b>Cálculo Variacional, Funcional</b>	<b>19</b>

# 1 Método dos Elementos Finitos com Python

Universidade Federal Fluminense

Disciplina ministrada pelo Prof. Marco Ferro em 1sem/2020.

Anotações do Aluno Noé de Lima [noe\\_lima@id.uff.br](mailto:noe_lima@id.uff.br)

## 2 Introdução

### 2.1 Histórico

- Início na década de 50 pelos engenheiros aeronáuticos Turner, Argyris e Associados
- Análise Matricial de Estruturas, PTV
- Anos 60, MEF entendido como um caso particular do Método de Rayleigh-Ritz, logo idealizado a partir de funcionais. Logo o MEF pôde ser aplicado a problemas de fluidos, meios porosos, termodinâmica, eletromagnetismo, dentre outros.
- No final dos anos 60, foi comprovado que o MEF pode também ser considerado como um caso particular do Método de Galerkin, dispensando a necessidade de um funcional.
- Nos anos 70 o MEF foi identificado como um caso particular do MRP - Método dos Resíduos Ponderados. Expansão do MEF com computadores mais modernos e o advento de linguagens de baixo nível (FORTRAN e BASIC). O FORTRAN foi criado no meio da década de 1950, mas começou a crescer com o FORTRAN IV (1962), tendo um grande avanço com o FORTRAN 77.
- Nos anos 80 houve a disponibilidade e a explosão dos “microcomputadores” e vários grupos de pesquisa e desenvolvimento do MEF foram criados ao redor do planeta.
- Dos anos 90 até os dias atuais, vários programas comerciais foram disponibilizados, alguns considerando pré e pós processamento e a computação paralela.
- Para o dimensionamento de estruturas, no Brasil, os mais usados são o TQS e o EBERICK.
- Além disso, diversas linguagens são usadas para programação do MEF, como FORTRAN, C++, Matlab, dentre outras e, mais recentemente, Python.

## 3 Método Numéricos

(FAZER DIAGRAMA E INCLUIR AQUI)

Segue abaixo a importação das bibliotecas que serão utilizadas.

```
In [1]: from numpy import array, arange, math, linspace
        from scipy.interpolate import interp1d
        import matplotlib.pyplot as plt
        plt.close('all') # apaga plotagens anteriores
```

### 3.1 Exemplo

Considere a seguinte equação diferencial e suas condições de contorno:

$$\begin{cases} \frac{d^2 u}{dx^2} - u = 0; & 0 \leq x \leq 1 \\ u(0) = 0 & u(1) = 1 \end{cases} \quad (1)$$

A solução exata deste sistema é:

$$u(x) = \frac{e^x - e^{-x}}{e - e^{-1}} \quad (2)$$

Este exemplo será utilizado nas seções a seguir.

#### 3.1.1 Vetor $x$ (Definição do Domínio)

Este código define o domínio  $x$  para o exemplo, e será utilizado como entrada nos demais códigos.

Neste exemplo, o domínio é  $0 \leq x \leq 1$ , discretizado em intervalos de 0,1.

```
In [2]: x = linspace(0.,1.,11)
```

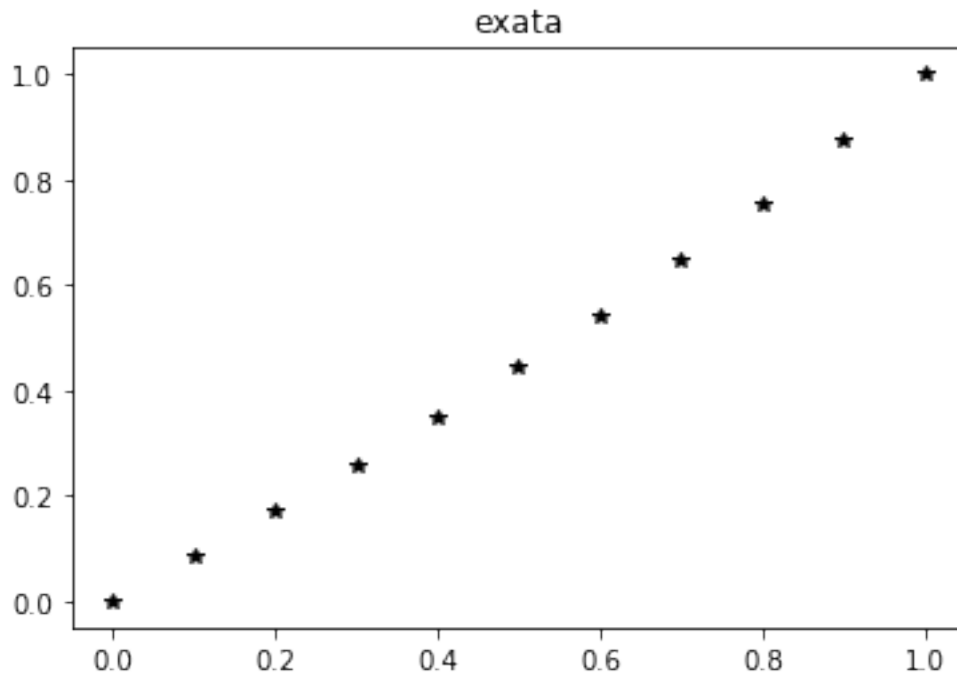
#### 3.1.2 Definição da Solução Exata

Definição e plotagem (discreta) da solução exata para o exemplo proposto. Esta solução será utilizada para comparar os métodos de aproximação a seguir.

```
In [3]: def yexata(x):  
        return (math.exp(1)**(x)-math.exp(1)**(-x))/(math.exp(1)-math.exp(-1))
```

```
In [4]: fig=plt.figure(1)  
        plt.plot(x,yexata(x),'k*')  
        plt.title('exata')
```

```
Out[4]: Text(0.5, 1.0, 'exata')
```



### 3.2 MRP - Método dos Resíduos Ponderados

Considere uma equação diferencial em  $u(x)$  como mostrado a seguir, e suas condições de contorno.

$$\begin{cases} L[u(x)] = f(x); & a \leq x \leq b \\ u(a) = u_a; & u(b) = u_b \end{cases} \quad (3)$$

(1)

A solução aproximada de  $u(x)$  é  $\bar{u}(x)$  e possui a seguinte forma:

$$\bar{u}(x) = \phi_0(x) + \sum_{i=1}^n a_i \phi_i(x) \quad (4)$$

(2)

Onde  $\phi_i$  são as funções de aproximação (a princípio arbitrárias) e  $a_i$  são coeficientes.

Substituindo  $\bar{u}$  em (1), tem-se:

$$L[\bar{u}(x)] - f(x) = R \quad (5)$$

(3)

Onde  $R$  é denominado Resíduo.

O MRP consiste em ponderar o Resíduo, de modo que a integral ao longo do domínio seja nula. Logo,

$$\int_D W_i R dv = 0 \quad (6)$$

(4)

(SRP - Sentença de Resíduos Ponderados)

Sendo,  $* W_i \rightarrow$  as funções de ponderação;  $* D \rightarrow$  o domínio e;  $* dv \rightarrow$  os diferenciais relativos ao domínio considerado.

#### 3.2.1 Analogia

É como se houvesse uma compensação de áreas situadas entre  $y$  e  $\bar{y}$ , com ponderação.

(INCLUIR GRÁFICO)

### 3.3 Subdomínio (MVF - Método dos Volumes Finitos)

#### 3.3.1 Função de Ponderação

$$W_i(x) = \begin{cases} 1 & x \in D \\ 0 & x \notin D \end{cases} \quad (7)$$

(5)

### 3.3.2 Exemplo

Considere a seguinte equação diferencial e suas condições de contorno para a qual obtivemos a Solução Exata.

$$\begin{cases} \frac{d^2 u}{dx^2} - u = 0; & 0 \leq x \leq 1 \\ u(0) = 0 & u(1) = 1 \end{cases} \quad (8)$$

A função de aproximação escolhida por simplicidade é um polinômio da forma  $x^i$ . Logo,

$$\bar{u}(x) = \sum_{i=0}^{n+1} C_i x^i \quad (9)$$

Para que as condições de contorno sejam atendidas, temos:

$$\bar{u}(0) = \sum_{i=0}^{n+1} C_i 0^i = 0 = \sum_{i=0}^{n+1} C_i 0^i \quad (10)$$

Mas,

$$0^i = \begin{cases} 1 & i = 0 \\ 0 & i \neq 0 \end{cases} \quad (11)$$

Logo,

$$\sum_{i=0}^{n+1} C_i 0^i = C_0 0^0 + \sum_{i=1}^{n+1} C_i 0^i = C_0 + \sum_{i=1}^{n+1} C_i 0 = 0 \therefore C_0 = 0 \quad (12)$$

Bem como,

$$\bar{u}(1) = 1 \rightarrow \sum_{i=1}^{n+1} C_i 1^i = \sum_{i=1}^{n+1} C_i 1 = 1 \therefore \sum_{i=1}^{n+1} C_i = 1 \quad (13)$$

Logo,

$$\bar{u}(x) = \sum_{i=1}^{n+1} C_i x^i \quad (14)$$

Utilizando  $n = 1$ ,

$$\bar{u}(x) = C_1 x + C_2 x^2 \quad (15)$$

Com  $C_1 + C_2 = 1$ .

Assim, tem-se:

$$R = \frac{d^2 \bar{u}}{dx^2} - \bar{u} = 2C_2 - C_1 x - C_2 x^2 \quad (16)$$

Utilizando o fator de ponderação  $W_i = 1$ , tem-se:

$$\int_0^1 1 [2C_2 - C_1 x - C_2 x^2] dx = \left[ 2C_2 x - C_1 \frac{x^2}{2} - C_2 \frac{x^3}{3} \right]_0^1 = 2C_2 - \frac{C_1}{2} - \frac{C_2}{3} = 0 \quad (17)$$

$$\begin{cases} -\frac{1}{2}C_1 + \frac{5}{3}C_2 = 0 \\ C_1 + C_2 = 1 \end{cases} \quad (18)$$

A solução deste sistema é:

$$\begin{cases} C_1 = \frac{10}{13} \\ C_2 = \frac{3}{13} \end{cases} \quad (19)$$

Logo, tem-se

$$\bar{u}(x) = \frac{10}{13}x + \frac{3}{13}x^2 \quad (20)$$

Somando-se e subtraindo-se  $\frac{3}{13}x$ , obtém-se

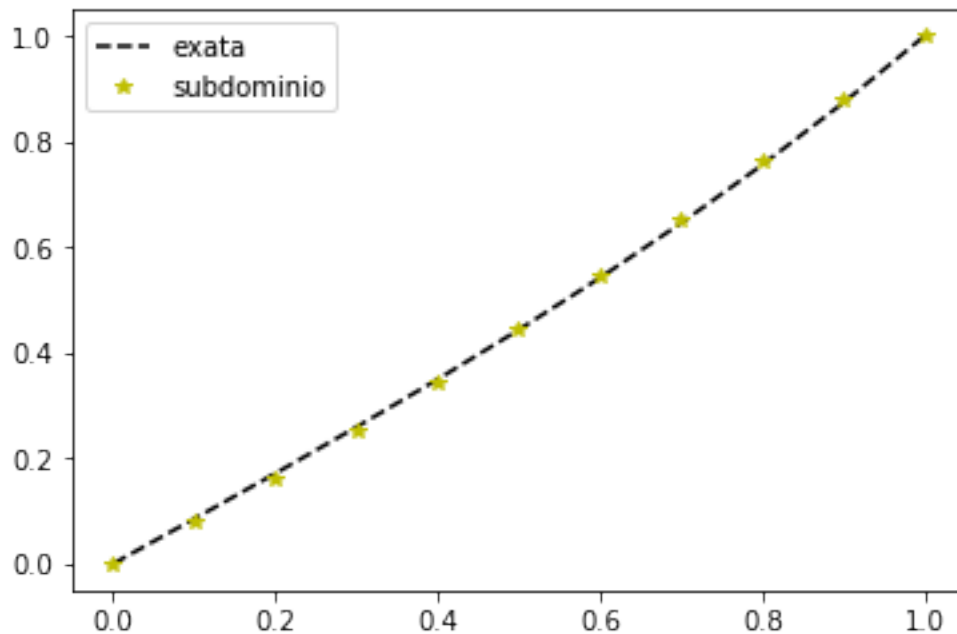
$$\bar{u}(x) = x + \frac{3}{13}(x^2 - x) \quad (21)$$

### 3.3.3 Implementação do Subdomínio

Abaixo, temos a implementação do MVF e o gráfico comparando com a solução exata.

```
In [5]: def ysubdominio(x):  
        return x+3/13*x*(x-1)  
  
In [6]: fig=plt.figure(2)  
        plt.plot(x,yexata(x),'k--',x,ysubdominio(x),'y*')  
        plt.legend(('exata','subdominio'))
```

Out [6]: <matplotlib.legend.Legend at 0x226440fc898>



### 3.4 Galerkin

No Método de Galerkin, a Função de Ponderação é igual a Função de Aproximação. Logo,

$$W_i(x) = \phi_i(x) \quad (i = 1, 2, 3, \dots, n) \quad (22)$$

E a SRP - Sentença de Resíduos Ponderados, torna-se:

$$\int_D \phi_i R dv = 0 \quad (23)$$

Considere a mesma equação diferencial e as mesmas condições de contorno do exemplo anterior.

$$\begin{cases} \frac{d^2 u}{dx^2} - u = 0; & 0 \leq x \leq 1 \\ u(0) = 0 & u(1) = 1 \end{cases} \quad (24)$$

Adota-se  $W_i(x) = \phi_i(x) = x(x-1)$ , com  $n = 1$ .

A SRP torna-se

$$\begin{aligned} \int_0^1 W_i R dx &= \int_0^1 W_i \left( \frac{d^2 \bar{u}}{dx^2} - \bar{u} \right) dx = \\ \left[ W_i \frac{d\bar{u}}{dx} \right]_0^1 - \int_0^1 \left( \frac{dW_i}{dx} \frac{d\bar{u}}{dx} \right) dx - \int_0^1 W_i \bar{u} dx &= 0 \end{aligned} \quad (25)$$

Lembrando que o resultado acima sai a partir da integração por partes, onde,

$$\int u dv = uv - \int v du \quad (26)$$

E, portanto,

$$\int W_i \frac{d^2 \bar{u}}{dx^2} dx = \left[ W_i \frac{d\bar{u}}{dx} \right] - \int \left( \frac{dW_i}{dx} \frac{d\bar{u}}{dx} \right) dx \quad (27)$$

Porém,

$$\left[ W_i \frac{d\bar{u}}{dx} \right]_0^1 = 0 \quad (28)$$

Pois  $W = x(x-1) = 0$  para  $x = 0$  e  $x = 1$ . Logo,

$$\begin{aligned} & - \int_0^1 \left( \frac{d\phi_i}{dx} \frac{d\bar{u}}{dx} \right) dx - \int_0^1 \phi_i \bar{u} dx = 0 \\ & - \int_0^1 (2x-1) (C_1 + 2C_2 x) dx - \int_0^1 (x^2 - x) (C_1 x + C_2 x^2) dx = 0 \\ & \int_0^1 (2C_1 x + 4C_2 x^2 - C_1 - 2C_2 x) dx + \\ & \int_0^1 (C_1 x^3 + C_2 x^4 - C_1 x^2 - C_2 x^3) dx = 0 \\ & \left[ \frac{2}{2} C_1 x^2 + \frac{4}{3} C_2 x^3 - C_1 x - \frac{2}{2} C_2 x^2 \right]_0^1 + \\ & \left[ \frac{1}{4} C_1 x^4 + \frac{1}{5} C_2 x^5 - \frac{1}{3} C_1 x^3 - \frac{1}{4} C_2 x^4 \right]_0^1 = 0 \end{aligned} \quad (29)$$

Logo, simplificando,

$$\begin{aligned} C_1 + \frac{4}{3} C_2 - C_1 - C_2 + \frac{1}{4} C_1 + \frac{1}{5} C_2 - \frac{1}{3} C_1 - \frac{1}{4} C_2 &= \\ \left( \frac{1}{4} - \frac{1}{3} \right) C_1 + \left( \frac{4}{3} - 1 + \frac{1}{5} - \frac{1}{4} \right) C_2 &= 0 \\ \left( \frac{3-4}{12} \right) C_1 + \left( \frac{80-60+12-15}{60} \right) C_2 &= 0 \\ -\frac{1}{12} C_1 + \frac{17}{60} C_2 &= 0 \end{aligned} \quad (30)$$

Portanto,

$$\begin{bmatrix} -5C_1 & + & 17C_2 & = & 0 \\ C_1 & + & C_2 & = & 0 \end{bmatrix} \quad (31)$$

A solução desse sistema é:

$$\begin{cases} C_1 = \frac{17}{22} \\ C_2 = \frac{5}{22} \end{cases} \quad (32)$$

Assim,

$$\bar{u}(x) = x + \frac{5}{22}x(x-1) \quad (33)$$

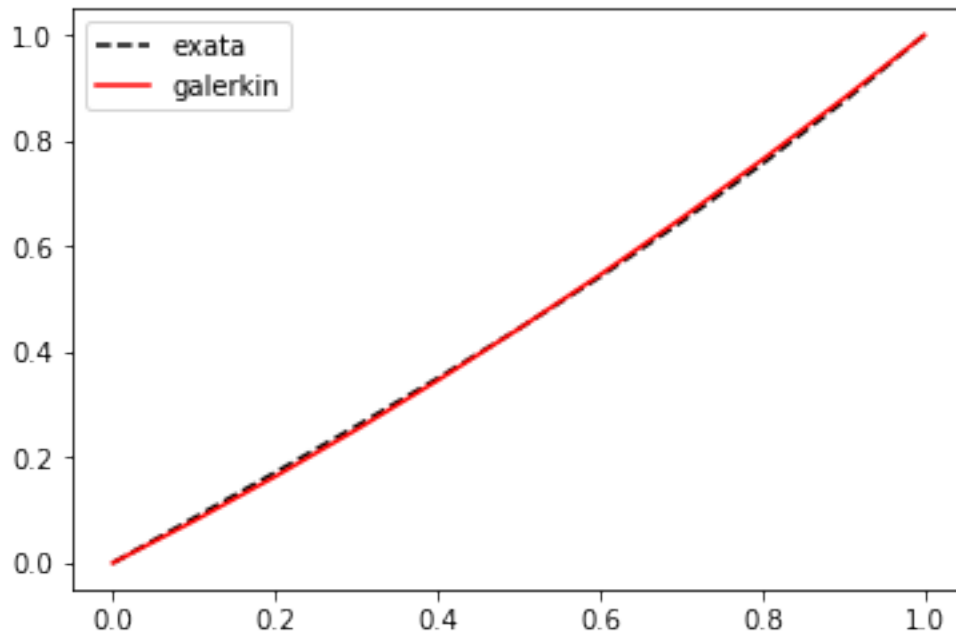
### 3.4.1 Implementação do Método de Galerkin

Abaixo, segue a implementação do Método de Galerkin e o gráfico comparando a solução exata.

```
In [7]: def ygalerkin(x):  
        return x+5/22*x*(x-1)
```

```
In [8]: fig=plt.figure(3)  
        plt.plot(x,yexata(x),'k--',x,ygalerkin(x),'r-')  
        plt.legend(('exata','galerkin'))
```

```
Out[8]: <matplotlib.legend.Legend at 0x22646770240>
```



## 3.5 Rayleigh-Ritz

É utilizado quando existe um Funcinoal equivalente à uma equação diferencial.

- PTV - Princípio dos Trabalhos Virtuais
- EPM - Energia Potencial Mínima



Considere  $\Pi(u)$  o funcional equivalente à equação diferencial

$$\frac{d^2u}{dx^2} - u = 0 \quad (34)$$

O MRR - Método de Rayleigh-Ritz considera que a solução aproximada  $\bar{u}(x)$  é uma combinação linear de funções de aproximação  $\phi_i(x)$ , ou seja,

$$\bar{u}(x) = \sum_{i=1}^n a_i \phi_i(x) \quad (35)$$

Sendo  $a_i, (i = 1, 2, \dots, n)$  coeficientes arbitrários e  $\phi_i(x)$  devem ser escolhidos para atenderem as condições de contorno:

$$\begin{cases} \sum_{i=1}^n a_i \phi_i(a) = u_a \\ \sum_{i=1}^n a_i \phi_i(b) = u_b \end{cases} \quad (36)$$

A solução aproximada  $\bar{y}$  deve tornar o Funcional “estacionário” em relação às constantes  $a_i$ , ou seja, nulo. Logo,

$$\frac{\partial \Pi}{\partial a_i} = 0 \quad (i = 1, 2, \dots, n) \quad (37)$$

O Funcional  $\Pi$  da equação diferencial  $\frac{d^2u}{dx^2} - u = 0$  vale

$$\Pi(u) = \int_0^1 \left[ \frac{1}{2} \left( \frac{du}{dx} \right)^2 + \frac{1}{2} u^2 \right] dx \quad (38)$$

Supondo  $\bar{u} = x + ax(x+1)$ ,

$$\begin{aligned} \Pi(\bar{u}) &= \int_0^1 \left[ \frac{1}{2} (1 + a(2x-1))^2 + \frac{1}{2} (x + a(x^2-x))^2 \right] dx \\ \Pi(\bar{u}) &= \frac{2}{3} - \frac{a}{12} + \frac{a^2}{3} \end{aligned} \quad (39)$$

Como

$$\frac{\partial \Pi(\bar{u})}{\partial a} = 0 \therefore -\frac{1}{12} + \frac{2}{3}a = 0 \quad (40)$$

$$a = \frac{1}{8}$$

Portanto,

$$\bar{u}(x) = x + \frac{1}{8}x(x-1) \quad (41)$$

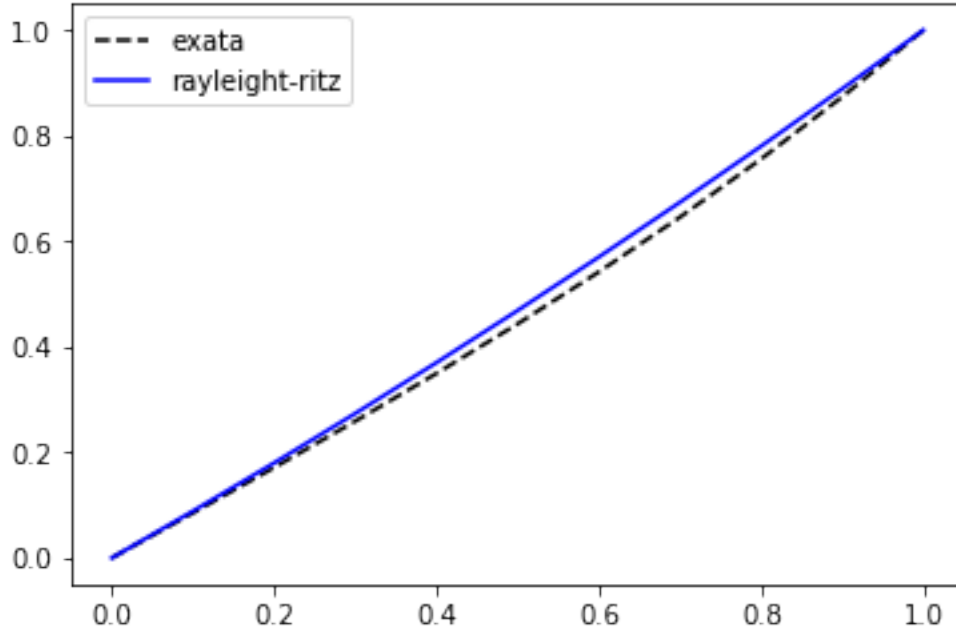
### 3.5.1 Implementação do Método de Rayleigh-Ritz

A seguir, a implementação do Método de Rayleigh-Ritz, bem como o gráfico de comparação com a solução exata.

```
In [9]: def yRR (x):
        return x+1/8*x*(x-1)
```

```
In [10]: fig=plt.figure(4)
         plt.plot(x,yexata(x),'k--',x,yRR(x),'b-')
         plt.legend(('exata','rayleigh-ritz'))
```

```
Out[10]: <matplotlib.legend.Legend at 0x2264415ecf8>
```



## 4 MEF - Método dos Elementos Finitos

O Método dos Elementos Finitos pode ser entendido como derivado do Método de Galerkin, onde, na SRP (Sentença de Resíduos Ponderados),  $W_i = \phi_i$ , considera-se o domínio  $1 - D$  (unidimensional) dividido em segmentos ou elementos, sendo os seus pontos extremos denominados nós.

(INSERIR IMAGEM)

Tem-se que:

$$\bar{u} = \sum_{i=1}^{n+1} u_i N_i(x) \quad (42)$$

No segmento  $e$ , temos:

$$h_e = x_e^{(2)} - x_e^{(1)} \quad (43)$$

E, tem-se que

$$\bar{u}(x) = \sum_{i=1}^{n+1} u_i N_i(x) \quad (44)$$

Assim, localmente,

$$N_1(e) = \frac{x_e^{(2)} - x}{x_e^{(2)} - x_e^{(1)}} = \frac{x_e^{(2)} - x_e^{(1)} - x_e}{x_e^{(2)} - x_e^{(1)}} \quad (45)$$

$$N_1(e) = \frac{h_e - x_e}{h_e} \begin{cases} N_1(x_e) = 1 \\ N_1(h_e) = 0 \end{cases} \quad (46)$$

$$N_2(e) = \frac{x - x_e^{(1)}}{x_e^{(2)} - x_e^{(1)}} \quad (47)$$

$$N_1(e) = \frac{x_e}{h_e} \quad \begin{cases} N_2(x_e) = 0 \\ N_2(h_e) = 1 \end{cases} \quad (48)$$

Usando o Método de Galerkin na SRP, temos:

$$\int_0^1 N_i R dx = 0 \quad (49)$$

Ou,

$$\begin{aligned} \int_0^1 N_i \left( \frac{d^2 \bar{u}}{dx^2} - \bar{u} \right) dx = \\ \left[ N_i \frac{d\bar{u}}{dx} \right]_0^1 - \int_0^1 \left( \frac{dN_i}{dx} \frac{d\bar{u}}{dx} + N_i \bar{u} \right) dx = 0 \end{aligned} \quad (50)$$

Logo, lembrando que

$$\bar{u}(x) = \sum_{i=1}^{n+1} u_i N_i(x) \quad (51)$$

Obtém-se

$$\begin{aligned} \sum_{j=1}^{n+1} \int_0^1 \left[ \left( \frac{dN_i}{dx} \frac{dN_j}{dx} \right) u_j + (N_i N_j) u_j \right] dx - \left[ N_i \frac{d\bar{u}}{dx} \right]_0^1 = 0 \\ \vdots \\ \sum_{j=1}^{n+1} \int_0^1 \left( \frac{dN_i}{dx} \frac{dN_j}{dx} + N_i N_j \right) u_j dx - \left[ N_i \frac{d\bar{u}}{dx} \right]_0^1 = 0 \end{aligned} \quad (52)$$

A partir da equação acima, define-se a Matriz de Rigidez  $K$ .

#### 4.0.1 Matriz de Rigidez e Matriz de Força (ou Carregamento) Nodal

$$\begin{aligned} K_{ij} &\equiv \int_0^1 \left( \frac{dN_i}{dx} \frac{dN_j}{dx} + N_i N_j \right) dx & (i, j) \geq 1 \\ f_i &\equiv \left[ N_i \frac{d\bar{u}}{dx} \right]_0^1 & (i, j) \leq n+1 \end{aligned} \quad (53)$$

### 4.1 MEF com 1 Elemento

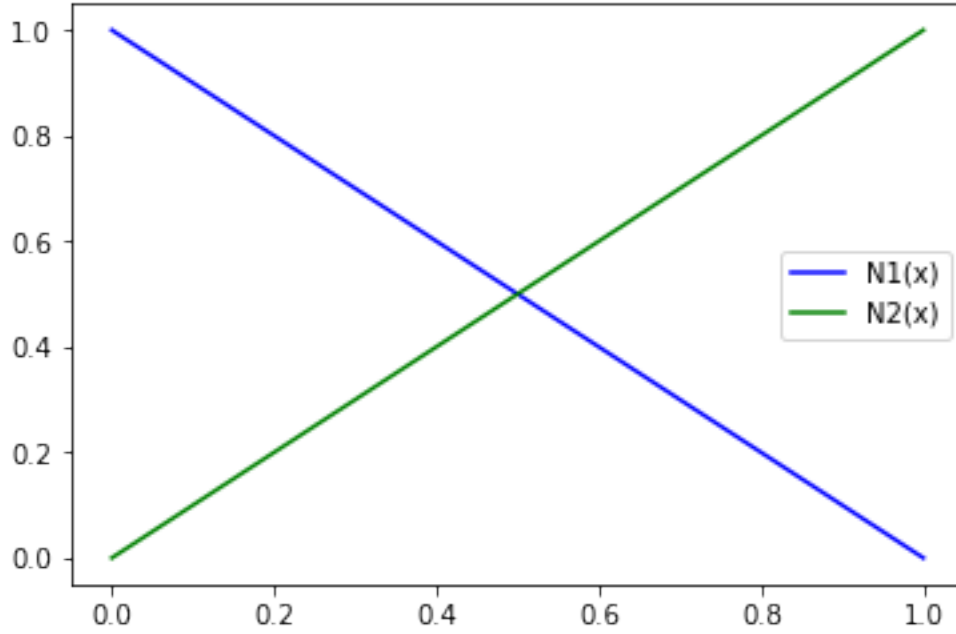
Aplicando o MEF ao exemplo utilizado até aqui:

$$\frac{d^2 u}{dx^2} - u = 0 \quad (54)$$

Subdividindo o domínio em um segmento (ou seja, sem divisão interna), temos:

```
In [11]: fig=plt.figure(8)
          plt.plot(x,1-x,'b-',x,x,'g-')
          plt.legend(('N1(x)', 'N2(x)'))

Out[11]: <matplotlib.legend.Legend at 0x226468457f0>
```



Onde,

- $N_1(x) = \frac{1-x}{1} = 1 - x$
- $N_2(x) = \frac{x}{1} = x$

Logo,

$$K_{ij} = \int_0^1 \frac{dN_i}{dx} \frac{dN_j}{dx} + N_i N_j dx \quad (55)$$

Se  $i = j$ ,

$$\begin{aligned} K_{11} = K_{22} &= \int_0^1 [(-1) \times (-1) + (1-x)^2] dx = \\ &= \int_0^1 (1 + 1 - 2x + x^2) dx = \int_0^1 (x^2 - 2x + 2) dx = \\ &= \left[ \frac{x^3}{3} - \frac{2x^2}{2} + 2x \right]_0^1 = \frac{1}{3} - 1 + 2 = \frac{4}{3} \end{aligned} \quad (56)$$

Ou, alternativamente,

$$\begin{aligned} K_{11} = K_{22} &= \int_0^1 [(1) \times (1) + (x)^2] dx = \int_0^1 (1 + x)^2 dx = \\ &= \left[ x + \frac{x^3}{3} \right]_0^1 = 1 + \frac{1}{3} = \frac{4}{3} \end{aligned} \quad (57)$$

Para  $i \neq j$ , temos:

$$\begin{aligned} K_{12} = K_{21} &= \int_0^1 [(-1) \times (1) + (1-x)x] dx = \\ &= \int_0^1 (-1 + x - x^2) dx = \left[ -x + \frac{x^2}{2} - \frac{x^3}{3} \right]_0^1 = \\ &= -\frac{1}{1} + \frac{1}{2} - \frac{1}{3} = \frac{-6+3-2}{6} = -\frac{5}{6} \end{aligned} \quad (58)$$

Portanto, temos:

$$\mathbf{K} = \begin{bmatrix} \frac{4}{3} & -\frac{5}{6} \\ -\frac{5}{6} & \frac{4}{3} \end{bmatrix} \quad (59)$$

Tem-se, também, que  $\mathbf{K}\bar{u} = \vec{f}$ , Ou,

$$\begin{bmatrix} \frac{4}{3} & -\frac{5}{6} \\ -\frac{5}{6} & \frac{4}{3} \end{bmatrix} \begin{bmatrix} u_1 \\ u_2 \end{bmatrix} = \begin{bmatrix} -\frac{d\bar{u}(0)}{dx} \\ -\frac{d\bar{u}(1)}{dx} \end{bmatrix} \quad (60)$$

Sabe-se, ainda, que:

$$\begin{bmatrix} u_1(0) = 0 \\ u_1(1) = 1 \end{bmatrix} \quad (61)$$

Assim,

$$\begin{bmatrix} \frac{4}{3} & -\frac{5}{6} \\ -\frac{5}{6} & \frac{4}{3} \end{bmatrix} \begin{bmatrix} 0 \\ 1 \end{bmatrix} = \begin{bmatrix} -\frac{d\bar{u}(0)}{dx} \\ -\frac{d\bar{u}(1)}{dx} \end{bmatrix} \quad (62)$$

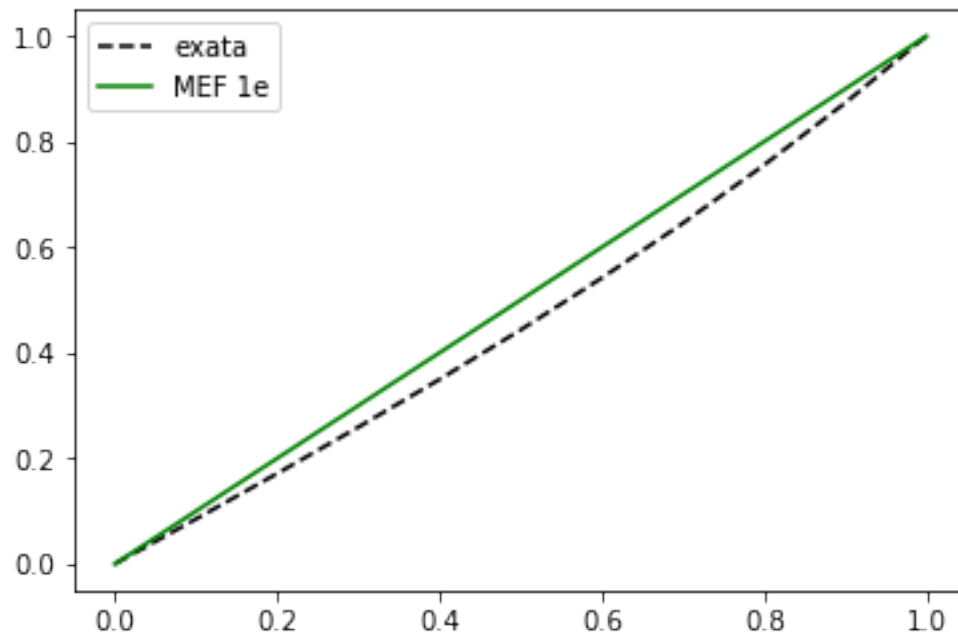
Resolvendo este sistema, obtém-se:

$$\begin{bmatrix} \frac{d\bar{u}(0)}{dx} \\ \frac{d\bar{u}(1)}{dx} \end{bmatrix} = \begin{bmatrix} \frac{5}{6} \\ -\frac{4}{3} \end{bmatrix} \quad (63)$$

```
In [12]: def yFEM1E (x):  
         return x
```

```
In [13]: fig=plt.figure(5)  
         plt.plot(x,yexata(x), 'k--',x,yFEM1E(x), 'g-')  
         plt.legend(('exata', 'MEF 1e'))
```

```
Out[13]: <matplotlib.legend.Legend at 0x22646f4aa90>
```



## 4.2 MEF com 3 Elementos

Agora veremos o mesmo exemplo aplicando o MEF com 3 Elementos.

$$\bar{u}(x) = \sum_{i=1}^4 u_i N_i \quad (64)$$

Dividindo o domínio em 3 segmentos, temos 4 nós igualmente espaçados. São eles:  $N_1 \rightarrow (x = 0)$ ,  $N_2 \rightarrow (x = \frac{1}{3})$ ,  $N_3 \rightarrow (x = \frac{2}{3})$  e  $N_4 \rightarrow (x = 1)$ .

Localmente (no elemento), temos:

$$\begin{bmatrix} N_1^e \\ N_2^e \end{bmatrix} = \begin{bmatrix} \frac{h_e - x}{h_e} \\ \frac{x}{h_e} \end{bmatrix} \quad (65)$$

Onde  $h_e = \frac{1}{3}$ .

Portanto,

$$\begin{bmatrix} N_1^e \\ N_2^e \end{bmatrix} = \begin{bmatrix} \frac{\frac{1}{3} - x}{\frac{1}{3}} \\ \frac{x}{\frac{1}{3}} \end{bmatrix} = \begin{bmatrix} 1 - 3x \\ 3x \end{bmatrix} \quad (66)$$

Assim,

$$K_{ij} = \int_0^{\frac{1}{3}} \left[ \left( \frac{dN_i}{dx} \frac{dN_j}{dx} \right) + N_i N_j \right] dx \quad (67)$$

$$f_i = \left[ N_i \frac{d\bar{u}}{dx} \right] \therefore \vec{f} = \begin{bmatrix} -\frac{d\bar{u}(0)}{dx} \\ 0 \\ 0 \\ -\frac{d\bar{u}(1)}{dx} \end{bmatrix} \quad (68)$$

Ressaltando que só existe  $f_i$  em  $N_1$  e  $N_4$ .

Assim,

$$\mathbf{K} = \begin{bmatrix} \frac{28}{9} & -\frac{53}{18} \\ -\frac{53}{18} & \frac{28}{9} \end{bmatrix} \quad (69)$$

Considerar que o nó  $N_2$  é influenciado pelos elementos  $N_1$  e  $N_2$  e o nó  $N_3$  pelos elementos  $N_2$  e  $N_3$ .

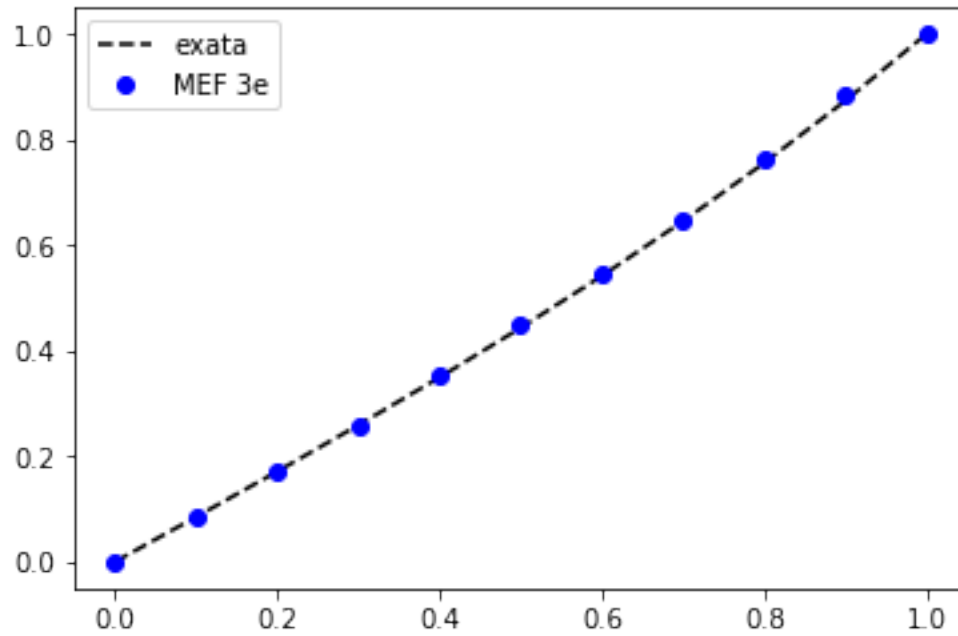
As condições de contorno de Dirichlet DEVEM ser atendidas, ou seja,  $u_1 = 0$  e  $u_4 = 1$ . Logo, as incógnitas serão:

$$\frac{du(0)}{dx}, \quad u_2, \quad u_3, \quad \frac{du(1)}{dx} \quad (70)$$

```
In [14]: xfemtres=array([0.,0.333,0.667,1.])
         yfemtres=array([0,0.2885,0.6098,1.])
         ylin=interp1d(xfemtres,yfemtres,kind='linear')(x)
```

```
In [15]: fig=plt.figure(6)
         plt.plot(x,yexata(x),'k--',x,ylin,'bo')
         plt.legend(('exata','MEF 3e'))
```

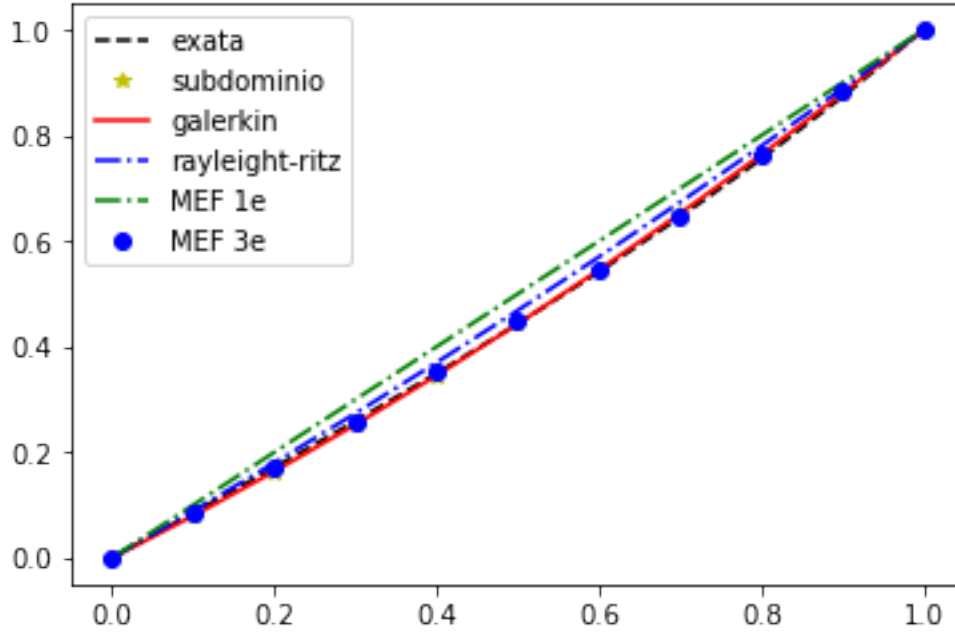
```
Out[15]: <matplotlib.legend.Legend at 0x22646a8a2b0>
```



## 5 Comparação das Soluções

```
In [16]: fig=plt.figure(7)
plt.plot(x,yexata(x),'k--', x,ysubdominio(x),'y*',x,ygalerkin(x),'r-',x,yRR(x),'b-.',x,
plt.legend(('exata','subdominio','galerkin','rayleight-ritz','MEF 1e','MEF 3e'))
```

```
Out[16]: <matplotlib.legend.Legend at 0x22646f8f320>
```



## 6 PTV - Princípio dos Trabalhos Virtuais

Considere a barra de treliça sujeita a uma força de tração  $f$ , com área de seção transversal  $A$ , comprimento  $l$  e Módulo de Elasticidade  $E$ .

(INSERIR FIGURA)

A medida que a treliça está sendo carregada, ocorre um alongamento até a posição de equilíbrio.

A curva Tensão  $\times$  Deformação é mostrada a seguir:

(INSERIR FIGURA)

(INSERIR DETALHE)

No detalhe, temos:

$$\Delta U_{0m} = Area_{\square_{ABDE}} + Area_{curva-AB} \quad (71)$$

Assim,

$$\Delta U_{0m} = \underbrace{\sigma_m \delta \epsilon_m}_{\delta U_{0m}^{(1)}} + \underbrace{\frac{1}{2} \delta \sigma_m \delta \epsilon_m}_{\delta U_{0m}^{(2)}} + erro_{U_{0m}} \quad (72)$$

$$\Delta U_{0m} = \delta U_{0m}^{(1)} + \delta U_{0m}^{(2)} + erro \quad (73)$$

### 6.1 Incremento do Trabalho Interno (Energia de Deformação)

$$\Delta U_m = \int_0^{U_m} \Delta U_{0m} dU_m \quad (74)$$



$$\Delta U_m = \int_0^{U_m} \sigma_m \delta \epsilon_m dU_m + \int_0^{U_m} \frac{1}{2} \delta \sigma_m \delta \epsilon_m dU_m + \int_0^{U_m} \text{erro} dU_m \quad (75)$$

$$\delta U_m^{(1)} = \int_0^{U_m} \sigma_m \delta \epsilon_m dU_m \quad (76)$$

$$\delta U_m^{(2)} = \int_0^{U_m} \frac{1}{2} \delta \sigma_m \delta \epsilon_m dU_m \quad (77)$$

Para o caso de  $n_e$  barras,

$$\delta U^{(1)} = \sum_{n=i}^{n_e} \int_0^{U_m^{(i)}} \sigma_m^{(i)} \delta \epsilon_m^{(i)} dU_m^{(i)} \quad (78)$$

$$\delta U^{(2)} = \sum_{n=i}^{n_e} \int_0^{U_m^{(i)}} \frac{1}{2} \delta \sigma_m^{(i)} \delta \epsilon_m^{(i)} dU_m^{(i)} \quad (79)$$

Sendo,

- $\sigma_m^{(i)}$  = Tensão na barra  $i$ ;
- $\delta \sigma_m^{(i)}$  = incremento de Tensão na barra  $i$ ;
- $\delta \epsilon_m^{(i)}$  = incremento de Deformação na barra  $i$ .

A força externa atuando na treliça relaciona-se com o deslocamento de acordo com o gráfico:

(INSERIR GRÁFICO)

(INSERIR DETALHE)

## 6.2 Incremento do Trabalho Externo

$$\Delta W_i = \underbrace{f_i \delta d_i}_{\delta W_i^{(1)}} + \underbrace{\frac{1}{2} \delta f_i \delta d_i}_{\delta W_i^{(2)}} + \text{erro}_{W_i} \quad (80)$$

Considerando-se  $n_e$  elementos de treliça,

$$dW^{(1)} = \sum_{i=1}^{n_e} f_i \delta d_i \quad (81)$$

$$dW^{(2)} = \sum_{i=1}^{n_e} \frac{1}{2} \delta f_i \delta d_i \quad (82)$$

Ou, na forma vetorial,

$$dW^{(1)} = \sum_{i=1}^{n_e} \vec{f} \cdot \delta \vec{d} \quad (83)$$

$$dW^{(2)} = \sum_{i=1}^{n_e} \frac{1}{2} \delta \vec{f} \cdot \delta \vec{d} \quad (84)$$

Sendo:

- $\vec{f} \rightarrow$  vetor de forças nas barras da treliça;
- $\delta \vec{f} \rightarrow$  incremento de  $\vec{f}$ ; e
- $\delta \vec{d} \rightarrow$  incremento dos deslocamentos das barras da treliça.

## 7 PDV - Princípio dos Deslocamentos Virtuais

Nesse caso, equivale ao PTV.

Obs: Existe também o Princípio das Forças Virtuais, mas não será tratado neste contexto.

PDV: Em um sistema Estrutural em equilíbrio, o incremento de 1ª ordem da energia de deformação é igual ao incremento de 1ª ordem do trabalho externo.

Logo,  $\delta U' = \delta W'$ , ou

$$\sum_{n=1}^{n_e} \int_0^{U_m^{(i)}} \sigma_m^{(i)} \delta \epsilon_m^{(i)} dU_m^{(i)} = \vec{f} \cdot \delta \vec{d} \quad (85)$$

$\sigma_m^{(i)}$  e  $\vec{f}$  são grandezas reais e em equilíbrio, enquanto  $\delta \epsilon_m^{(i)}$  e  $\delta \vec{d}$  são grandezas virtuais.

## 8 Energia Potencial Total do Sistema

$$\Pi = U + W \therefore \Pi(d) = U(d) + W(d) \quad (86)$$

$U$  é a energia (interna) que volta a estrutura para a configuração inicial se houver o descarregamento total.

$W$  é o trabalho que será realizado caso a estrutura voltasse para a configuração inicial, mantido o carregamento.

$\Pi$  é a energia total necessária para a estrutura voltar à condição inicial, mantido o carregamento. Ou seja, para voltar a condição inicial, a estrutura precisa “vencer” o carregamento e a deformação sofridos.

Tem-se que

$$W(d) = -\vec{f} \cdot \vec{d} \quad (87)$$

## 9 Princípio da Energia Potencial Total Mínima

Um sistema estrutural carregado sofrerá deformação de modo a gastar o mínimo de Energia Potencial Mínima.

Logo, no equilíbrio,

$$\frac{\partial \Pi(d)}{\partial d} = 0 \quad (88)$$

$\Pi(d)$  é denominado Energia Potencial Total do Sistema, ou FUNCIONAL DO SISTEMA.

Logo, a equação  $\Pi(d) = U(d) + W(d)$  equivale às Equações de Equilíbrio do Sistema.

### 9.1 Exemplo

Considere a equação

$$\frac{d^2 u}{dx^2} - u = 0; \quad 0 \leq x \leq 1 \quad (89)$$

Prove que o Funcional da EDO anterior vale:

$$\Pi(u) = \int_0^1 \left[ \frac{1}{2} \left( \frac{du}{dx} \right)^2 + \frac{1}{2} u^2 \right] dx \quad (90)$$

### 9.1.1 Solução

Tem-se que

$$d\Pi(u) = \int_0^1 \left[ \frac{du}{dx} d\left(\frac{du}{dx}\right) + u \delta u \right] dx \quad (91)$$

Obs:

$$v = \frac{du}{dx} \rightarrow \frac{1}{2}v^2 = \frac{1}{2} \left( \frac{du}{dx} \right)^2 \quad (92)$$

$$d\left(\frac{1}{2}v^2\right) = \frac{1}{2} \times 2 \times v \times dv = v dv = \frac{du}{dx} d\left(\frac{du}{dx}\right) \quad (93)$$

$$d\left(\frac{1}{2}u^2\right) = \frac{1}{2} \times 2 \times u \times du = u du \quad (94)$$

$d\Pi$  pode ser reescrito como

$$d\Pi = \int_0^1 \left[ \frac{du}{dx} d\left(\frac{du}{dx}\right) + u du \right] dx \quad (95)$$

Integrando por partes,

$$\int_0^1 \left( \frac{du}{dx} d\left(\frac{du}{dx}\right) + u du \right) dx = \left[ \frac{du}{dx} du \right]_0^1 - \int_0^1 \left[ \frac{d}{dx} \frac{du}{dx} du - u du \right] dx \quad (96)$$

As condições de contorno de Dirichlet devem ser atendidas:

$$du = 0 \quad \text{se} \quad \begin{cases} x = 0 \\ x = 1 \end{cases} \quad (97)$$

Logo,

$$\left[ \frac{du}{dx} du \right] = 0 \quad (98)$$

$$d\Pi = - \int_0^1 \left( \frac{d^2u}{dx^2} - u \right) du dx \quad (99)$$

Condição de “Estacionariedade”  $d\Pi = 0$ ; logo,

$$\int_0^1 \left( \frac{d^2u}{dx^2} - u \right) du dx = 0 \quad (100)$$

Logo,

$$\frac{d^2u}{dx^2} - u = 0 \quad (101)$$

## 10 Cálculo Variacional, Funcional